

BAB V

HASIL PENELITIAN DAN PEMBAHASAN

5.1 Hasil Penelitian Pendahuluan

Dalam pelaksanaan penelitian ini, sebelum dilakukan pengujian pada kuda-kuda papan pada sistem secara utuh, terlebih dahulu dilakukan beberapa uji pendahuluan, yaitu meliputi uji desak, uji tarik, dan uji berat jenis kayu yang digunakan, sehingga dari hasil tersebut didapatkan kekuatan yang sesungguhnya dari kayu yang dipakai untuk membuat sampel.

Setelah itu dilakukan pengujian pada sampel kuda-kuda papan yang telah dibuat, yang hasilnya berupa kekuatan maksimum kuda-kuda papan dalam menerima beban desak.

5.1.1. Hasil Uji Kuat Tarik Kayu

Dalam penelitian ini, hasil uji tarik searah serat ditampilkan pada Tabel 5.1. Dari penelitian didapat beban tarik maksimal (P_{tarik}) = 190 kg/cm dan daerah patah, Yaitu : Sampel patah diantara titik 16 dan titik 23 dengan luas penampang rata-rata.

Tabel 5.1 Hasil uji tarik kayu //serat

| Sampel | Luas Rata-rata (A) (cm) | $P \cdot 10^{-3}$ (kg) | Teg. Tarik $=P/A$ (Kg/cm ²) | Teg. Tarik Rata-rata |
|--------|-------------------------------|---------------------------|---|-------------------------|
| 1 | 1.285 | 318 | 247.278 | |
| 2 | 1.926 | 600 | 311.526 | |
| 3 | 1.940 | 190 | 97.938 | 256.550 |
| 4 | 0,677 | 250 | 369.458 | |

5.1.2. Hasil Uji Kuat Desak Kayu

Pengujian desak kayu dilakukan dengan membuat 10 sampel yang hasilnya seperti pada dan Tabel 5.2.

Tabel 5.2 Tegangan Regangan Uji Kuat Desak Kayu

| Sampel | ukuran kayu L/t (cm) | Beban P (kg) | ΔL (10^{-3} cm) | Tegangan $\sigma = P/A$ (Kg/cm ²) | Regangan $\varepsilon = \Delta L/L$ (10^{-3}) |
|--------|-------------------------|-----------------|-------------------------------|--|---|
| 1 | 10 | 6800 | 762 | 170 | 3.810 |
| 2 | 15 | 6700 | 5084 | 167.500 | 16.900 |
| 3 | 20 | 6800 | 2950 | 170 | 7.375 |
| 4 | 25 | 5775 | 5160 | 144.375 | 10.320 |
| 5 | 30 | 4125 | 9150 | 103.125 | 15.250 |
| 6 | 35 | 2975 | 10400 | 74.375 | 14.860 |
| 7 | 40 | 1970 | 15120 | 49.250 | 18.900 |
| 8 | 45 | 530 | 16900 | 13.250 | 18.770 |
| 9 | 50 | 405 | 21260 | 10.125 | 21.260 |
| 10 | 100 | 250 | 19640 | 6.250 | 19.640 |

5.1.3. Hubungan Beban - Lendutan Hasil Penelitian

Pengujian desak kayu dilakukan di Laboratorium Bahan Konstruksi Teknik, Fakultas Teknik Sipil dan Perencanaan, Universitas Islam Indonesia. Pada sampel papan uji desak tersebut diberi pembebanan pada satu titik secara bertahap. Dipasang dial gauge sebanyak dua buah yang diletakan pada papan bagian tengah untuk mengetahui lendutan yang terjadi. Dari hasil penelitian

tersebut , didapat hasil dalam tabel 5.2.Dari hasil uji desak tersebut didapat tegangan kritis papan, yang digunakan sebagai tegangan rencana dari kuda -kuda papan. Dalam hal ini hanya batang yang menerima tekan yang diwaspadai terutama batang atas.

5.1.4. Hasil Uji Berat Jenis Kayu

Hasil dari Pengujian berat jenis kayu yang dilakukan adalah seperti pada Tabel (5.3).

Tabel 5.3 Hasil uji berat jenis kayu

| Benda uji | Volume(cm3) | Berat kering kayu oven (gr) | Berat jenis kayu |
|--------------|-------------|-----------------------------|------------------|
| Kayu meranti | 257,64 | 119 | 0,462 |

5.2. Penelitian Sistem Kuda-Kuda di Laboratorium Mekanika Rekayasa

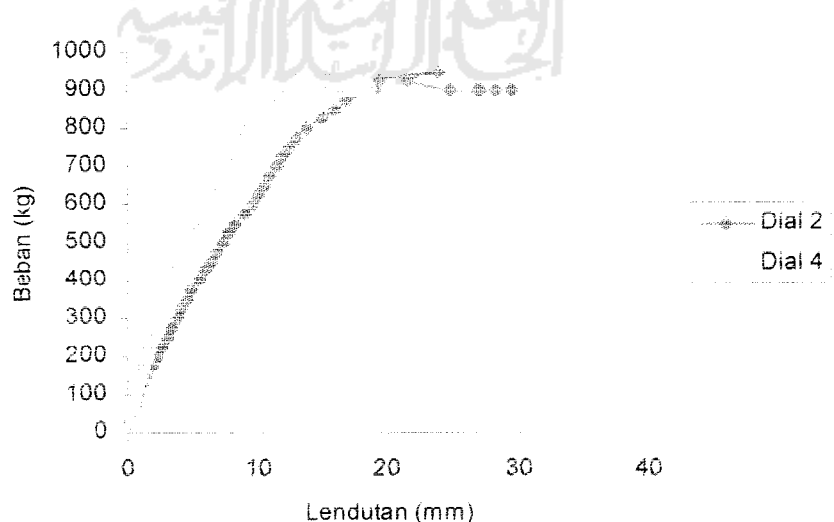
5.2.1. Hubungan Beban - Lendutan Hasil Penelitian

Penelitian ini dilakukan di Laboratorium Mekanika Rekayasa, Universitas Islam Indonesia, Fakultas Teknik Sipil dan Perencanaan. Pada benda uji kuda-kuda papan tersebut (menggunakan kayu meranti), dua buah kuda-kuda dites secara bersamaan dengan jarak antar kuda-kuda 40 cm dan diberi pengaku berupa kayu reng dengan ukuran 5/7, pada setiap buhulnya serta kayu reng untuk menghindari kerusakan pada kayu reng puncak pada saat pembebanan dipasang kayu reng ganda, serta untuk menyesuaikan dengan keadaan dilapangan dan meminimalkan buckling. Pembebanan dilakukan pada titik puncak kuda-kuda, kemudian dial gauge digunakan sebanyak 6 buah yang masing -masing kuda-kuda dipasang 3 buah dial yang diletakan pada batang bawah dengan jarak antar dial 90

cm dari tengah bentang kuda-kuda. Lendutan yang terjadi dicatat hasilnya dapat dilihat pada Tabel 5.4 dan 5.5 serta Grafik (5.1) dan (5.2), untuk lengkapnya disajikan pada lampiran.

Tabel 5.4 Hasil uji kuat lentur benda uji 1

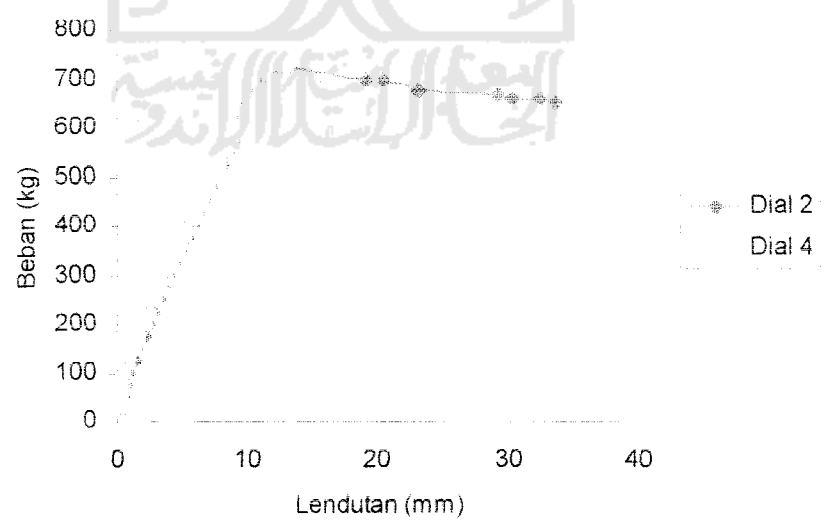
| DIAL 2 | | | | | | DIAL 4 | | | | | |
|--------|--------|------------|-----|--------|------------|--------|--------|------------|-----|--------|------------|
| No. | P (kg) | Δl | No. | P (kg) | Δl | No. | P (kg) | Δl | No. | P (kg) | Δl |
| 1 | 25 | 0,30 | 20 | 500 | 7,59 | 1 | 25 | 0,23 | 20 | 500 | 7,67 |
| 2 | 50 | 0,50 | 21 | 525 | 8,15 | 2 | 50 | 0,26 | 21 | 525 | 7,96 |
| 3 | 75 | 0,72 | 22 | 550 | 8,58 | 3 | 75 | 0,41 | 22 | 550 | 8,40 |
| 4 | 100 | 0,92 | 23 | 575 | 9,02 | 4 | 100 | 0,64 | 23 | 575 | 8,91 |
| 5 | 125 | 1,35 | 24 | 600 | 9,33 | 5 | 125 | 0,97 | 24 | 600 | 9,30 |
| 6 | 150 | 1,48 | 25 | 625 | 9,69 | 6 | 150 | 1,32 | 25 | 625 | 9,72 |
| 7 | 175 | 2,10 | 26 | 650 | 10,15 | 7 | 175 | 1,75 | 26 | 650 | 10,17 |
| 8 | 200 | 2,40 | 27 | 675 | 10,90 | 8 | 200 | 2,09 | 27 | 675 | 11,00 |
| 9 | 225 | 2,79 | 28 | 700 | 11,45 | 9 | 225 | 2,51 | 28 | 700 | 11,59 |
| 10 | 250 | 3,20 | 29 | 725 | 13,24 | 10 | 250 | 2,97 | 29 | 725 | 13,16 |
| 11 | 275 | 3,55 | 30 | 700 | 19,07 | 11 | 275 | 3,32 | 30 | 700 | 14,39 |
| 12 | 300 | 3,93 | 31 | 700 | 20,48 | 12 | 300 | 3,78 | 31 | 700 | 15,80 |
| 13 | 325 | 4,49 | 32 | 675 | 23,15 | 13 | 325 | 4,32 | 32 | 675 | 16,44 |
| 14 | 350 | 4,86 | 33 | 675 | 23,00 | 14 | 350 | 4,74 | 33 | 675 | 16,76 |
| 15 | 375 | 5,32 | 34 | 670 | 29,14 | 15 | 375 | 5,17 | 34 | 670 | 17,43 |
| 16 | 400 | 5,76 | 35 | 658 | 30,30 | 16 | 400 | 5,65 | 35 | 658 | 18,44 |
| 17 | 425 | 6,24 | 36 | 658 | 32,35 | 17 | 425 | 6,12 | 36 | 658 | 19,46 |
| 18 | 450 | 6,71 | 37 | 650 | 33,55 | 18 | 450 | 6,60 | 37 | 650 | 19,51 |
| 19 | 475 | 7,19 | | | | 19 | 475 | 7,06 | | | |



Gambar 5.1 Grafik hubungan Beban-Lendutan benda uji 1

Tabel 5.5 Hasil uji kuat lentur benda uji 2

| DIAL 2 | | | | | | DIAL 4 | | | | | |
|--------|--------|------------|----|--------|------------|--------|--------|------------|----|--------|------------|
| NO | P (kg) | Δl | NO | P (kg) | Δl | NO | P (kg) | Δl | NO | P (kg) | Δl |
| 1 | 25 | 0,12 | 23 | 575 | 8,98 | 1 | 25 | 0,25 | 23 | 575 | 5,83 |
| 2 | 50 | 0,32 | 24 | 600 | 9,60 | 2 | 50 | 0,28 | 24 | 600 | 6,26 |
| 3 | 75 | 0,55 | 25 | 625 | 10,05 | 3 | 75 | 0,45 | 25 | 625 | 6,59 |
| 4 | 100 | 0,79 | 26 | 650 | 10,46 | 4 | 100 | 0,61 | 26 | 650 | 6,88 |
| 5 | 125 | 1,10 | 27 | 675 | 10,86 | 5 | 125 | 0,82 | 27 | 675 | 7,18 |
| 6 | 150 | 1,44 | 28 | 700 | 11,39 | 6 | 150 | 1,02 | 28 | 700 | 7,52 |
| 7 | 175 | 1,78 | 29 | 725 | 11,84 | 7 | 175 | 1,21 | 29 | 725 | 7,88 |
| 8 | 200 | 2,28 | 30 | 750 | 12,38 | 8 | 200 | 1,49 | 30 | 750 | 8,22 |
| 9 | 225 | 2,58 | 31 | 775 | 13,01 | 9 | 225 | 1,66 | 31 | 775 | 8,71 |
| 10 | 250 | 3,00 | 32 | 800 | 13,72 | 10 | 250 | 1,89 | 32 | 800 | 9,24 |
| 11 | 275 | 3,39 | 33 | 825 | 14,92 | 11 | 275 | 2,18 | 33 | 825 | 10,00 |
| 12 | 300 | 3,76 | 34 | 850 | 15,92 | 12 | 300 | 2,44 | 34 | 850 | 10,68 |
| 13 | 325 | 4,08 | 35 | 875 | 16,81 | 13 | 325 | 2,67 | 35 | 875 | 11,31 |
| 14 | 350 | 4,55 | 36 | 900 | 18,97 | 14 | 350 | 2,98 | 36 | 900 | 12,08 |
| 15 | 375 | 4,88 | 37 | 925 | 24,67 | 15 | 375 | 3,22 | 37 | 925 | 16,28 |
| 16 | 400 | 5,45 | 38 | 950 | 26,92 | 16 | 400 | 3,61 | 38 | 950 | 16,81 |
| 17 | 425 | 5,91 | 39 | 925 | 27,05 | 17 | 425 | 3,93 | 39 | 925 | 17,41 |
| 18 | 450 | 6,36 | 40 | 900 | 28,22 | 18 | 450 | 4,21 | 40 | 900 | 18,09 |
| 19 | 475 | 6,83 | 41 | 900 | 29,39 | 19 | 475 | 4,45 | 41 | 900 | 18,69 |
| 20 | 500 | 7,31 | 42 | 900 | 39,34 | 20 | 500 | 4,76 | 42 | 900 | 13,01 |
| 21 | 525 | 7,81 | 43 | 900 | 23,76 | 21 | 525 | 5,09 | 43 | 900 | 15,50 |
| 22 | 550 | 8,20 | 44 | 900 | 21,49 | 22 | 550 | 5,49 | 44 | 900 | 14,25 |



Gambar 5.2 Grafik hubungan Beban-Lendutan benda uji 2

5.2.2. Hubungan Momen -Kelengkungan

Dari hasil penelitian didapatkan data beban (P)-lendutan (Δ), sehingga dapat dicari momen (M)-kelengkungannya(Φ), seperti contoh perhitungan berikut ini :

Data yang digunakan adalah pembebanan 725 Kg pada benda uji pertama dengan bentang 5m, lendutan yang terjadi pada titik 1=0,01043 m, titik 2 = 0,01324 m, titik 3 = 0,00995 m dengan persamaan 3.39.

$$\Phi = \frac{y_{i+1} - 2y_i + y_{i-1}}{(\Delta x)^2}$$

$$\Phi = \frac{0,01043 - 0,02648 + 0,00995}{0,9^2} x - 1/m = 0,007531 \text{ } 1/m$$

momen dapat dicari dengan menggunakan persamaan :

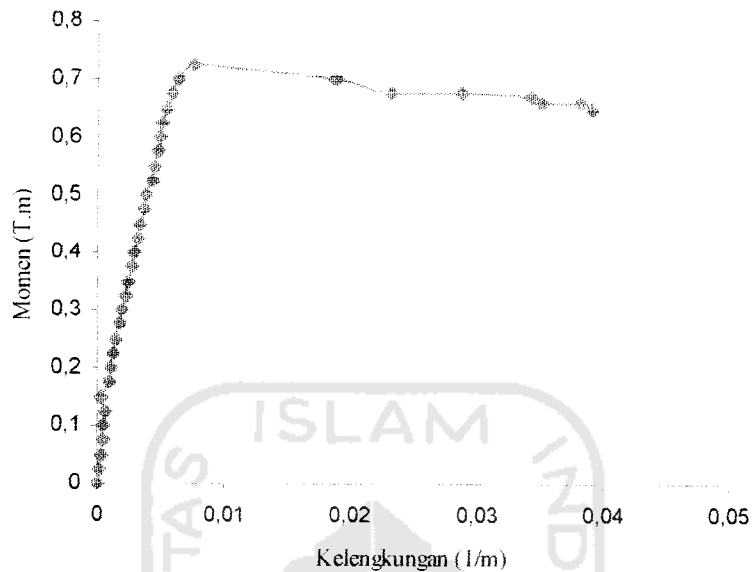
$$M = 1/4 PL$$

$$M = 1/4 \times 0,725 \times 5 = 0,90625 \text{ T.m.}$$

Dari contoh perhitungan di atas dapat diperlihatkan data hubungan momen dan kelengkungan pada Tabel 5.6 dan untuk hasil lengkapnya dapat dilihat pada lampiran.

Tabel 5.6. Hubungan Momen - Kelengkungan Benda Uji

| Beban (ton) | Defleksi | | | Momen (T.m) | Φ (1/m) |
|----------------|-----------|---------|-----------|----------------|-----------------|
| | y_{i-1} | Y_i | y_{i+1} | | |
| 0 | 0 | 0 | 0 | 0 | 0 |
| 0.025 | 0.0002 | 0.0003 | 0.00025 | 0.03125 | 0.000185 |
| 0.05 | 0.0004 | 0.0005 | 0.00035 | 0.0625 | 0.000309 |
| 0.075 | 0.0006 | 0.00072 | 0.00046 | 0.09375 | 0.000469 |
| 0.1 | 0.00083 | 0.00092 | 0.00065 | 0.125 | 0.000444 |
| 0.125 | 0.00121 | 0.00135 | 0.00094 | 0.1563 | 0.000679 |
| 0.15 | 0.00152 | 0.00148 | 0.00123 | 0.1875 | 0.000259 |
| 0.175 | 0.00188 | 0.0021 | 0.00153 | 0.2187 | 0.000975 |
| 0.2 | 0.00214 | 0.0024 | 0.00178 | 0.25 | 0.001086 |
| 0.225 | 0.00245 | 0.00279 | 0.00208 | 0.2813 | 0.001296 |
| 0.25 | 0.00279 | 0.0032 | 0.00242 | 0.3125 | 0.001469 |
| 0.275 | 0.00304 | 0.00355 | 0.00266 | 0.3437 | 0.001728 |
| 0.3 | 0.00340 | 0.00393 | 0.00298 | 0.375 | 0.001827 |
| 0.325 | 0.00380 | 0.00449 | 0.0034 | 0.4063 | 0.002198 |
| 0.35 | 0.00413 | 0.00486 | 0.00368 | 0.4375 | 0.002358 |
| 0.375 | 0.00445 | 0.00532 | 0.00401 | 0.4687 | 0.002691 |
| 0.4 | 0.00483 | 0.00576 | 0.00436 | 0.5 | 0.002877 |
| 0.425 | 0.00521 | 0.00624 | 0.00468 | 0.5313 | 0.003198 |
| 0.45 | 0.00561 | 0.00671 | 0.00507 | 0.5625 | 0.003383 |
| 0.475 | 0.00599 | 0.00719 | 0.00542 | 0.5937 | 0.003667 |
| 0.5 | 0.00633 | 0.00759 | 0.00572 | 0.625 | 0.003864 |
| 0.525 | 0.00677 | 0.00815 | 0.00612 | 0.6563 | 0.00421 |
| 0.55 | 0.00711 | 0.00858 | 0.00644 | 0.6875 | 0.004457 |
| 0.575 | 0.00746 | 0.00902 | 0.00676 | 0.7187 | 0.004716 |
| 0.6 | 0.00770 | 0.00933 | 0.00698 | 0.75 | 0.004914 |
| 0.625 | 0.00798 | 0.00969 | 0.00726 | 0.7813 | 0.005111 |
| 0.65 | 0.00832 | 0.01015 | 0.00758 | 0.8125 | 0.005432 |
| 0.675 | 0.00884 | 0.0109 | 0.00818 | 0.8438 | 0.005901 |
| 0.7 | 0.00924 | 0.01145 | 0.00854 | 0.875 | 0.006321 |
| 0.725 | 0.01043 | 0.01324 | 0.00995 | 0.9063 | 0.007531 |
| 0.7 | 0.01197 | 0.01907 | 0.01108 | 0.875 | 0.01863 |
| 0.7 | 0.01335 | 0.02048 | 0.01234 | 0.875 | 0.018852 |
| 0.675 | 0.01434 | 0.02315 | 0.01316 | 0.8438 | 0.02321 |
| 0.675 | 0.01496 | 0.02604 | 0.01374 | 0.8438 | 0.028864 |
| 0.67 | 0.01596 | 0.02914 | 0.0145 | 0.8375 | 0.034346 |
| 0.658 | 0.01683 | 0.0303 | 0.0153 | 0.8225 | 0.035148 |
| 0.658 | 0.01771 | 0.03235 | 0.0161 | 0.8225 | 0.038136 |
| 0.65 | 0.01861 | 0.03355 | 0.01688 | 0.8125 | 0.039025 |



Gambar 5.3. Grafik Hubungan Momen - Kelengkungan Kuda-kuda Papan

5.2.3. Analisa Kerusakan pada Benda Uji

Kerusakan yang terjadi pada penelitian ini terjadi pada saat pengujian pendahuluan yaitu pada benda uji papan terjadi retak pada saat papan mencapai beban maksimum dan pada benda uji kuda-kuda papan terjadi buckling pada batang atas. Kerusakan ini terjadi karena papan merupakan material yang sangat tipis dan panjang. Sedangkan pada kuda-kuda papan terjadi buckling yang cukup besar karena pengaku yang digunakan kurang kuat untuk menahan beban yang bekerja serta batang atas dan batang bawah yang kurang tebal, maka kayu mengalami defleksi kearah bawah dan ke arah samping.

5.3. Pembahasan

5.3.1. Analisa Data Kuat Lentur Kayu Berdasar Hubungan Beban-Lendutan

Dengan mengamati hasil-hasil pada grafik beban-lendutan (Gambar 5.2-5.13), diperoleh bahwa kekuatan papan yang bentangnya pendek mampu menahan beban lebih besar dengan nilai lendutan yang cukup kecil, dibandingkan dengan papan yang bentangnya lebih panjang. Hal ini dikarenakan papan adalah material yang tipis dan langsing, sehingga mudah terjadi buckling. Jika dibandingkan antara tegangan kritis hasil Sap 2000 dan teoritik didapat, tegangan kritis hasil Sap 2000 lebih besar daripada tegangan kritis hasil teoritik. Oleh karena itu kuda-kuda papan dengan F_{cr} yang didapat dari pengujian kuat tekan mengalami lendutan kearah samping. Begitupun dengan banyaknya paku yang digunakan pada sambungan kuda-kuda papan masih mampu menahan tegangan yang terjadi.

Daktilitas simpangan pada tiap-tiap sambungan, yaitu dengan melihat Δ_y dan Δ_{total} serta kekakuan seperti pada tabel 5.7 dan 5.8 berikut ini :

Tabel 5.7 Kekakuan Batang

| Benda Uji | P (KN) | Lendutan (mm) | Kekakuan P/Δ (KN/mm) | Kekakuan rata-rata | Kekakuan Rata-rata % |
|-------------|---------|---------------|----------------------|--------------------|----------------------|
| Kuda-kuda 1 | 14,219 | 13,24 | 1,074 | | 24,809 |
| Kuda-kuda 2 | 14,219 | 13,16 | 1,081 | | 24,961 |
| Kuda-kuda 3 | 18,6325 | 21,49 | 0,867 | 1,082 | 20,028 |
| Kuda-kuda 4 | 18,6325 | 14,25 | 1,306 | | 30,205 |

Tabel 5.8 Analisa Daktilitas Simpangan pada kayu

| Benda uji | P (KN) | Lendutan Δy | Lendutan maks Δt | Daktilitas $\Delta t / \Delta y$ | Daktilitas Rata-rata | Daktilitas Rata-rata % |
|-----------|--------|---------------------|--------------------------|----------------------------------|----------------------|------------------------|
| 1 | 14,219 | 13,24 | 33,55 | 2,534 | | 37,849 |
| 2 | 14,219 | 13,16 | 19,51 | 1,483 | | 22,144 |
| 3 | 18,633 | 21,49 | 29,39 | 1,368 | 1,674 | 20,428 |
| 4 | 18,633 | 14,25 | 18,69 | 1,312 | | 19,591 |

Dari hasil pengamatan grafik hubungan momen-kelengkungan pada Gambar (5.3) dapat dicari faktor kekakuan ditengah bentang, seperti ditampilkan pada Tabel 5.9 berikut ini, dan dibandingkan hasilnya dari empat kuda-kuda papan.

Tabel 5.9 Analisa kekakuan dari data hubungan momen - kelengkungan

| Sampel | M (KN.m) | Kelengkungan Φ (1/m) | $EI = M/\Phi$ (KN.m ²) | EI rata-rata (KN.m ²) | EI rata-rata (%) |
|-------------|----------|---------------------------|------------------------------------|-----------------------------------|------------------|
| Benda uji 1 | 8,887 | 0,00753 | 1180,212 | | 22,291 |
| Benda uji 2 | 8,887 | 0,05753 | 1544,732 | 1287,714 | 29,890 |
| Benda uji 3 | 11,645 | 0,00781 | 1490,121 | | 28,928 |
| Benda uji 4 | 11,645 | 0,01244 | 935,792 | | 18,167 |

Dari Gambar (5.3) juga bisa diamati daktilitas kelengkungan kuda-kuda papan yang disajikan dalam Tabel 5.10.

Tabel 5.10 Analisa daktilitas kelengkungan dari data hubungan momen-kelengkungan

| Sampel | M (KN.m) | Φ_y (1/m) | Φ_{tot} (1/m) | Daktilitas Φ_{tot}/Φ_y | Daktilitas rata-rata | Daktilitas rata-rata (%) |
|-------------|----------|----------------|--------------------|--------------------------------|----------------------|--------------------------|
| Benda uji 1 | 8,887 | 0,00753 | 0,03902 | 5,18194 | | 41,918 |
| Benda uji 2 | 8,887 | 0,00575 | 0,02133 | 3,70956 | 3,09129 | 29,987 |
| Benda uji 3 | 11,645 | 0,00781 | 0,01455 | 1,86299 | | 15,067 |
| Benda uji 4 | 11,645 | 0,01244 | 0,02003 | 1,61069 | | 13,029 |

Tabel 5.11 Tegangan Kritis

| Batang | Fcr Eksperimen batang | Fcr eksperimen kuda-kuda | | Fcr Teoritis | Ket. |
|--------|-----------------------------|-----------------------------|---------------|-----------------|----------------|
| | | beban 0,725 | Beban 0,95 | | |
| A1=A6 | 11,250 | 25,891 | 38,223 | 7,693 | rusak/buckling |
| A3=A5 | 11,250 | 17,409 | 26,031 | 7,693 | rusak/buckling |
| A5=A4 | 11,250 | 16,859 | 27,230 | 7,693 | rusak/buckling |
| D1 | 106,597 | | | | |
| D2 | 9,417 | 17,510 | 29,996 | 4,119 | rusak/buckling |
| D3 | 11,047 | | | | |
| D4 | 9,417 | 23,907 | 25,732 | 4,119 | rusak/buckling |
| D5 | 9,417 | 23,907 | 25,732 | 4,119 | rusak/buckling |
| D6 | 11,047 | | | | |
| D7 | 9,417 | 17,510 | 29,996 | 4,119 | rusak/buckling |
| D8 | 106,597 | | | | |

5.3.2. Kuat lentur Kuda-Kuda Papan Berdasar Hubungan Beban - lendutan

Pada penelitian kuda-kuda papan , papan yang mengalami buckling pada bagian atas, karena pada papan bagian atas yang menerima gaya desak yang cukup besar. Kayu reng yang digunakan sebagai pengikat atau pengaku berukuran 5/7 untuk mendapatkan keadaan seperti dilapangan.Dilihat dari grafik hubungan beban - lendutan sebenarnya kuda -kuda papan benda uji ke-1 masih mampu untuk menahan beban yang lebih besar dari 1,45 ton, begitu juga dengan kuda-kuda papan benda uji ke-2 masihb mampu menahan beban yang lebih besar dari 1,9 ton.Tegangan yang diperoleh terbesar pada kedua benda uji terjadi pada batang A1 dan A6 untuk benda uji ke-1 $F_{cr} = 28,76825 \text{ kg/cm}^2$ dan benda uji ke-2 $F_{cr} = 42,47 \text{ kg/cm}^2$, karena pada buhul yang ada sambungan pakunya belum rusak akan tetapi kayu tidak kuat sehingga kuda-kuda tidak runtuh tetapi terjadi defleksi kearah samping.

Kekakuan yang diperoleh dari hubungan beban -lendutan pada kedua kuda-kuda mempunyai sifat yang sama yaitu pada tengah bentang kayu kekakuan yang terjadi kecil, tidak demikian dengan kekakuan pada batang disisi kanan dan kiri nilai kekakuannya besar. Daktilitas yang diperoleh dari hubungan beban – lendutan pada kedua kuda – kuda yang terbesar didapat pada kuda – kuda papan benda uji ke-1 yaitu sebesar = 2,534.



5.3.3.Kuat Lentur Kuda-Kuda Papan Berdasarkan Hubungan Momen-Kelengkungan

Dilihat dari grafik, hubungan momen-kelengkungan memiliki kecenderungan yang tidak jauh berbeda dengan grafik hubungan beban lendutan seperti yang ditunjukkan pada Gambar (5.1) dan pada lampiran. Demikian juga dengan kuat lentur kuda-kuda papan yang didapat dari kedua grafik tersebut. Mulai dari kuat lentur awal sampai dengan kuat lentur maksimum kuda-kuda pada penelitian ini sampai kuda-kuda papan mengalami buckling. Kuat lentur kuda-kuda papan cenderung linier tetapi kelengkungan kuda-kuda mengalami peningkatan terutama ketika akan terjadi buckling.

Dari hubungan momen kelengkungan dapat ditunjukkan bahwa nilai EI semakin kecil karena kelengkungan yang terjadi semakin besar sehingga sifat papan perlahan-lahan menjadi inelastis dan menuju ke plastis, tetapi sampai pada inelastis mengalami buckling, sehingga beban maksimum yang diperoleh sampai kuda-kuda runtuh tidak tercapai.